Référentiel terrestre

I Mouvements de la Terre et référentiels pertinents

- 1. Référentiels héliocentrique, géocentrique et terrestre
- 2. Jour solaire et jour sidéral
- 3. Pourquoi tirer des fusées depuis Kourou?

II Effets de la force d'inertie d'entrainement

- 1. Gravité et pesanteur
- 2. Variation de g avec la latitude
- 3. Le seau de Newton
- 4. Bourrelet équatorial de la Terre
- 5. Vers un modèle cohérent

III Effets de la force de Coriolis

- 1. Ordres de grandeur et direction
- 2. Tir polaire
- 3. Déviation d'une chute libre
- 4. Vent géostrophique

IV Les marées

- 1. Différentiel gravitationnel
- 2. Champ de marée
- 3. Expression de $\vec{C}(M)$
- 4. Représentation de \vec{C} et rythme semi-diurne
- 5. Potentiel de marée
- 6. Marée hydrostatique

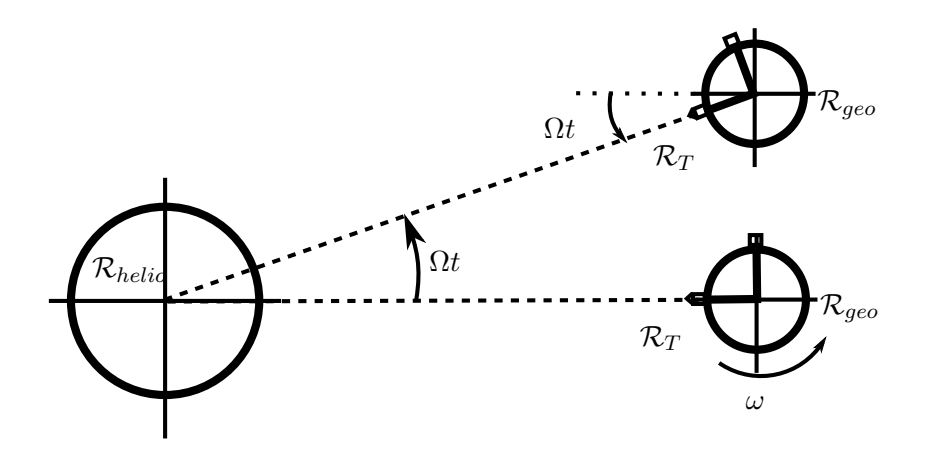


FIGURE 1 – Mouvements de la Terre dans le référentiel héliocentrique et référentiels associés

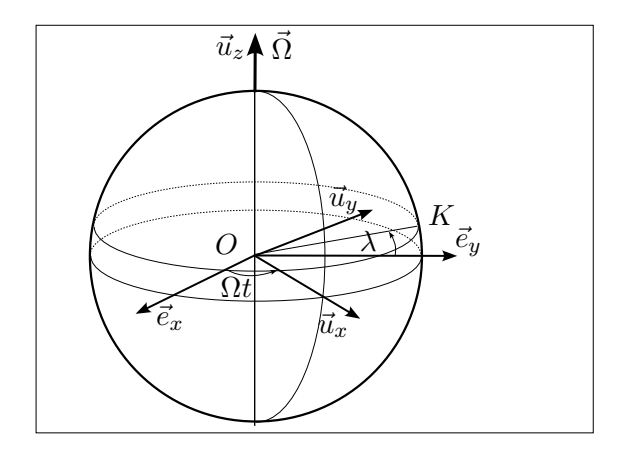


FIGURE 2 – Référentiel géocentrique $(O, \vec{e}_x, \vec{e}_y, \vec{e_z})$, référentiel terrestre $(O, \vec{u}_x, \vec{u}_y, \vec{u}_z)$ et point K (Kourou)

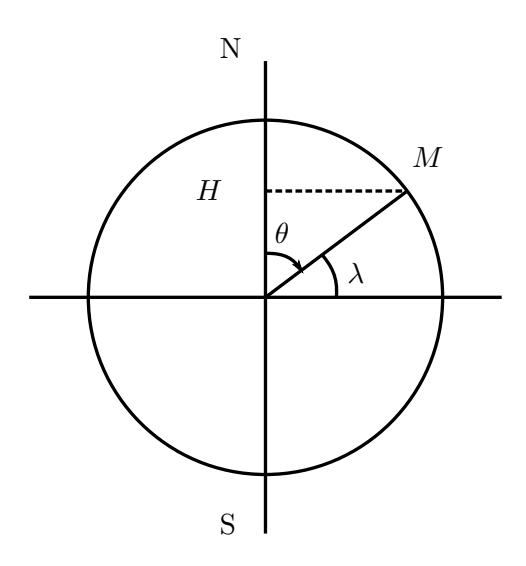
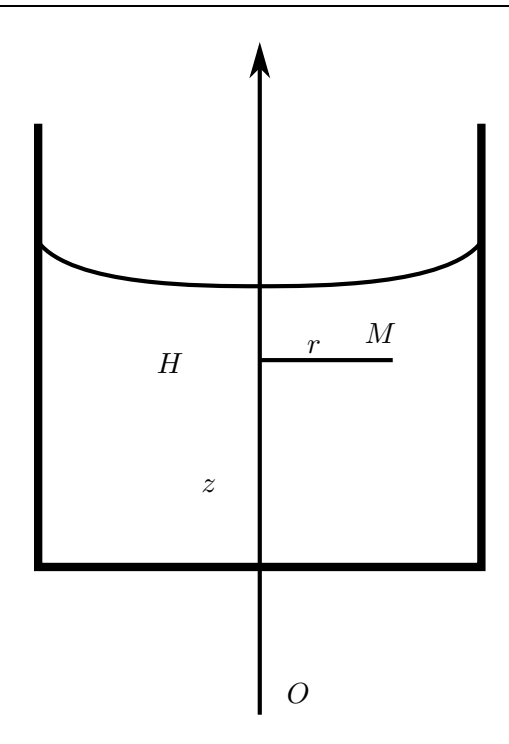


FIGURE 3 – Forces de gravité et forces d'inertie sur un point matériel à la surface de la Terre



 $\label{eq:figure 4-Lesseau de Newton: la rotation autour de l'axe vertical déforme la surface$

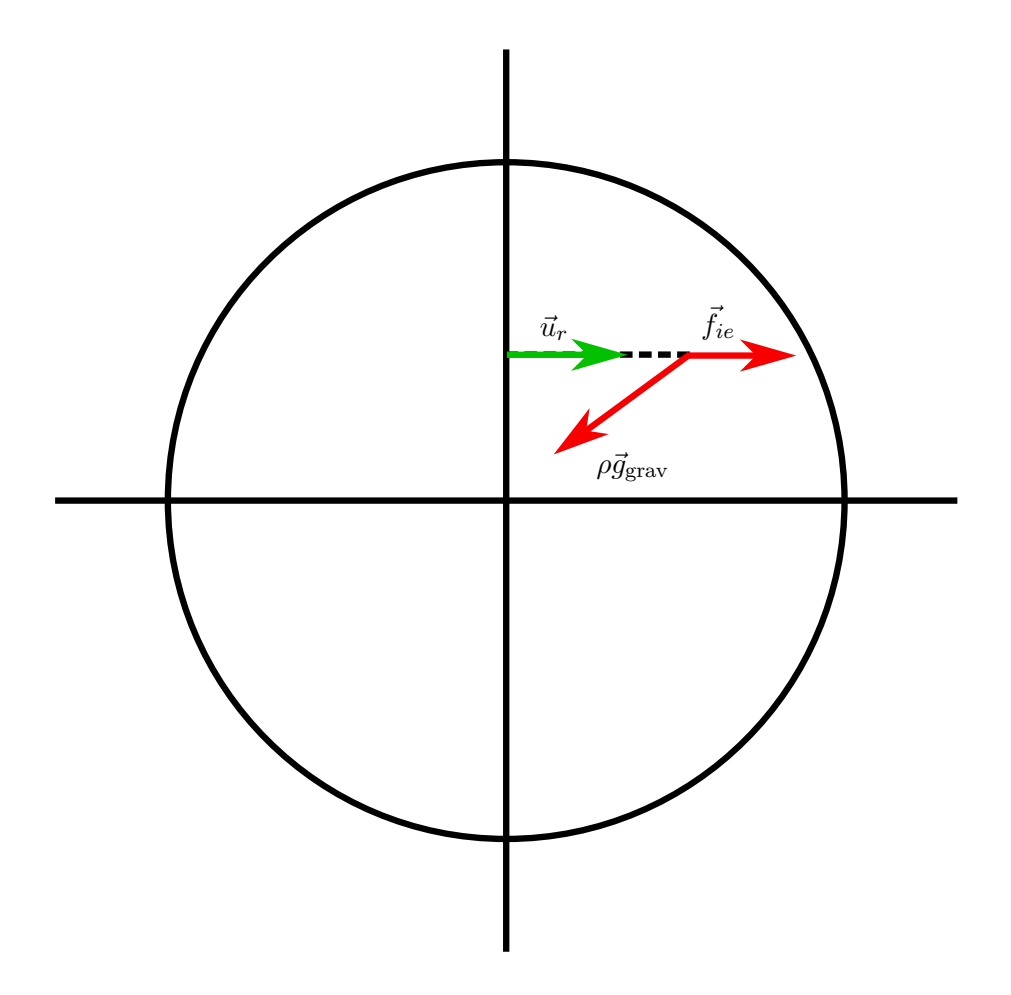


FIGURE 5 – Calcul du champ de pression dans la Terre

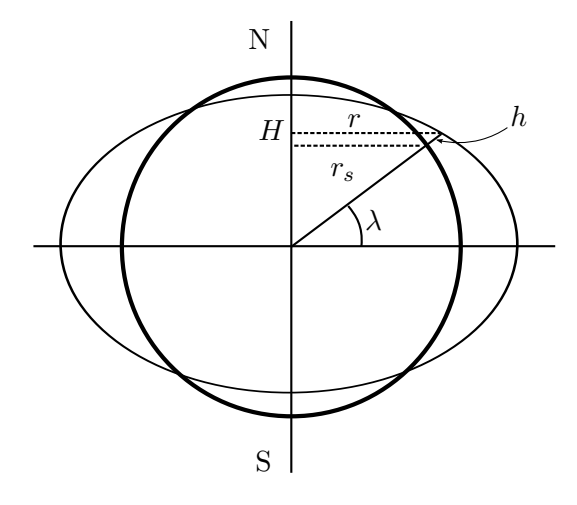
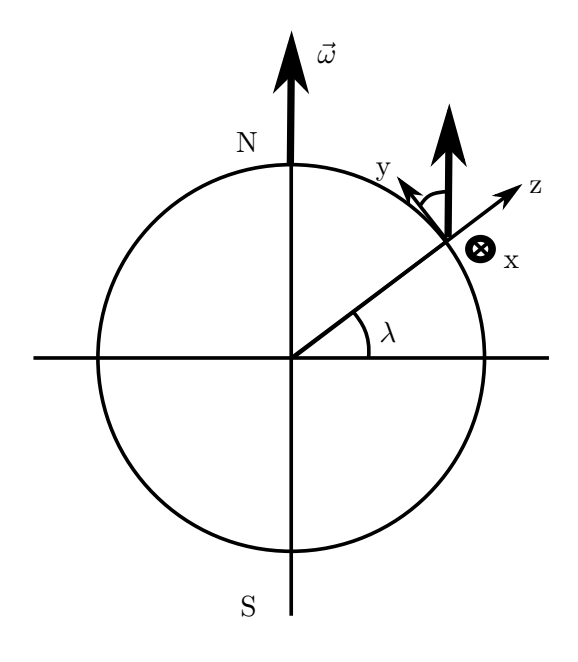


Figure 6 – Étude du bourrelet équatorial de la Terre. h désigne la surélévation par rapport à une sphère parfaite



 $Figure \ 7-$

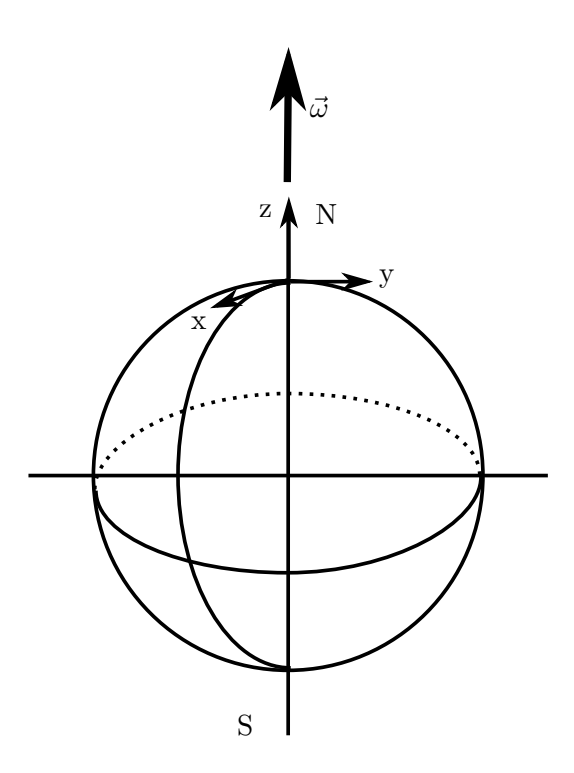


FIGURE 8 – Étude d'un tir d'obus depuis le Pôle Nord

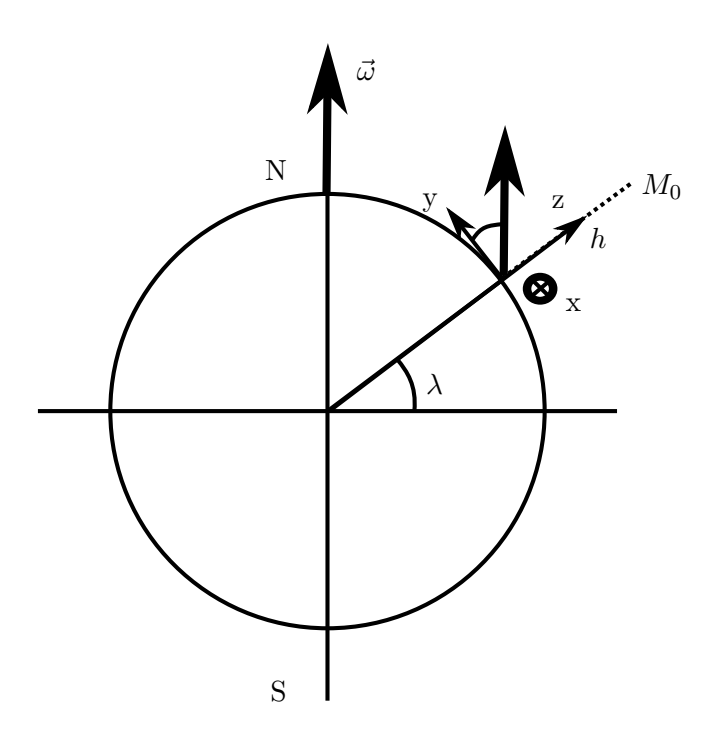


Figure 9 – Déviation d'une chute libre par la force de Coriolis

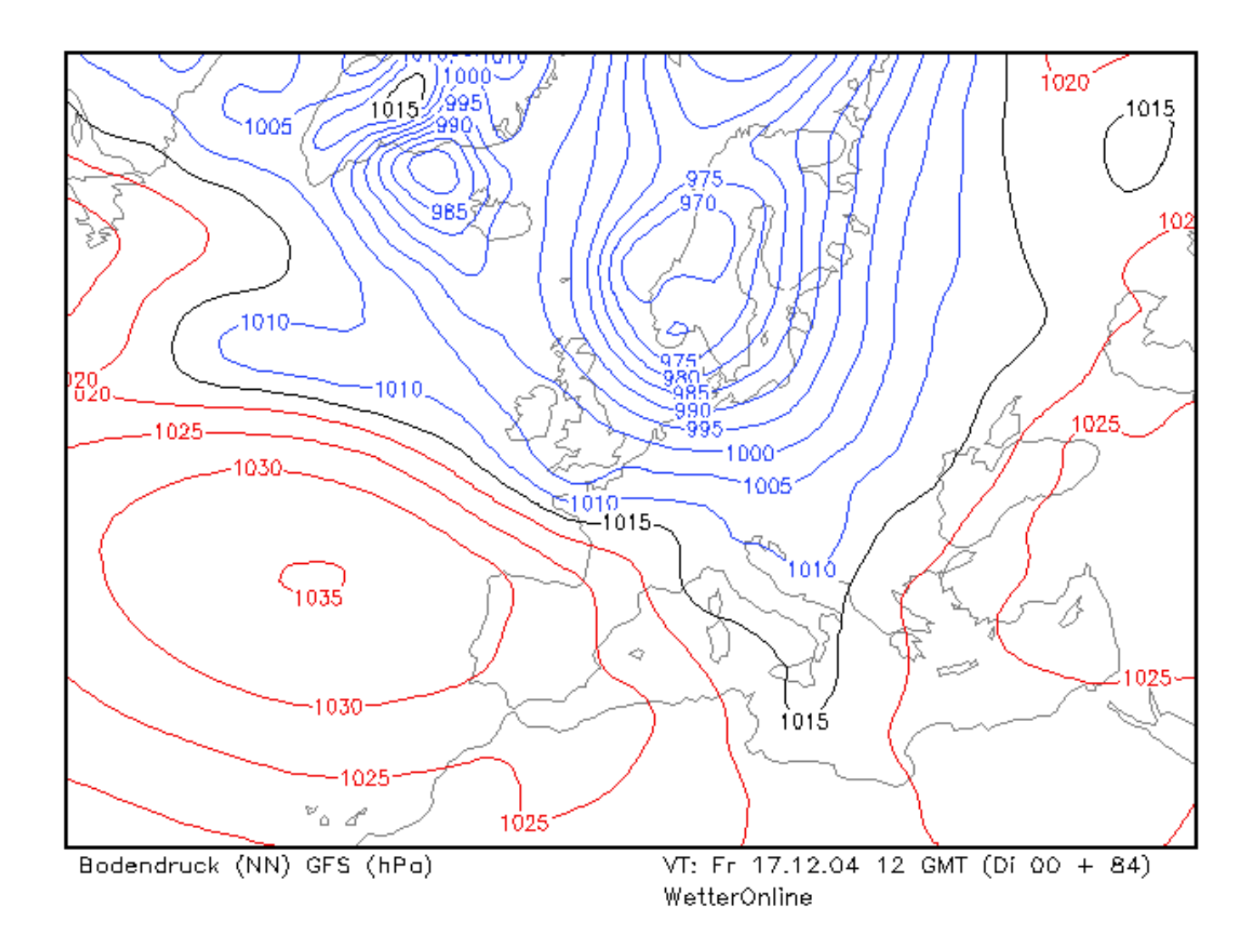


Figure 10 – Une carte météorologique à l'échelle de l'Europe occidentale

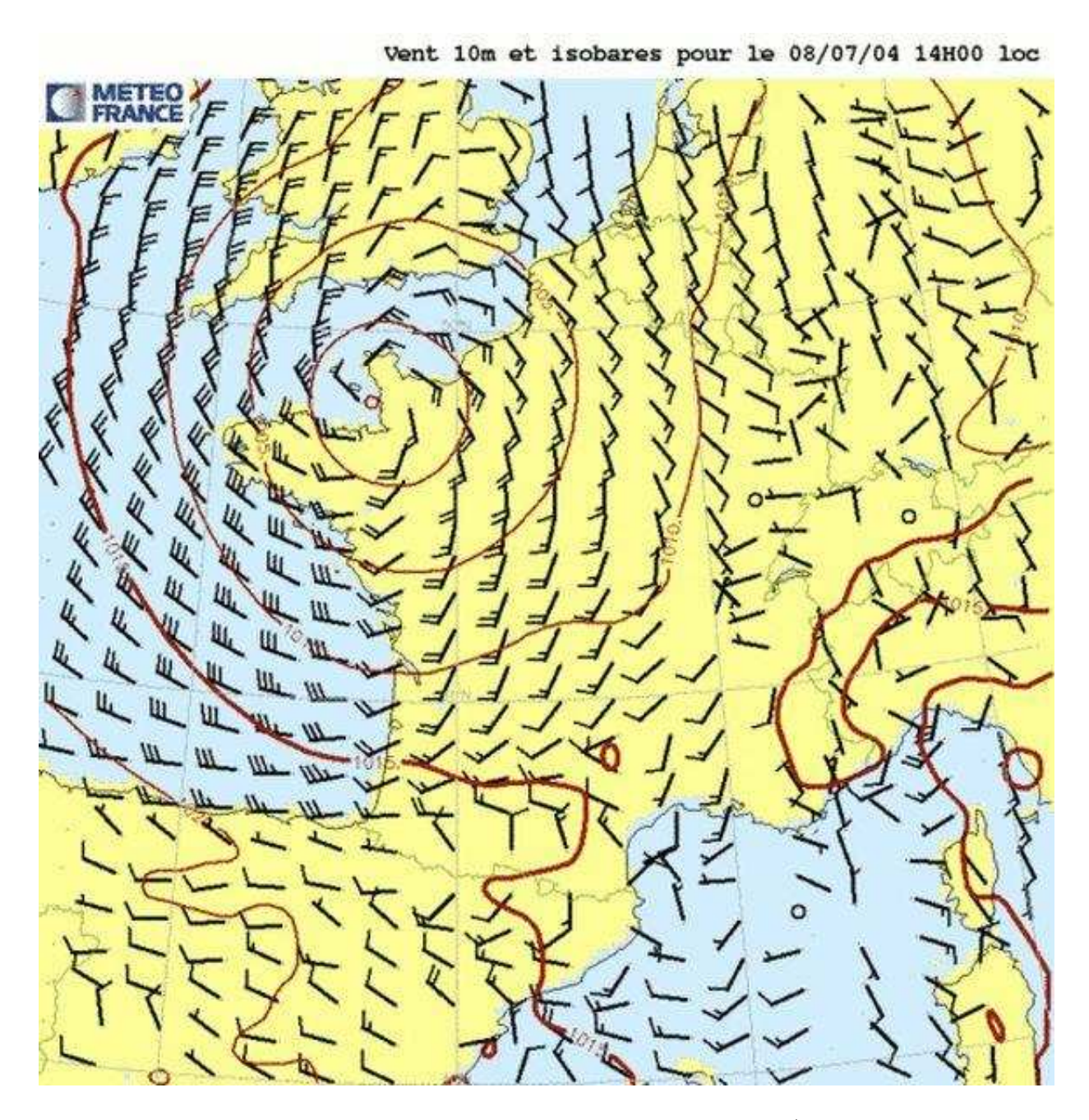


FIGURE 11 – 1 barbule = 10 nœuds = $18,52\,\mathrm{km/h}$

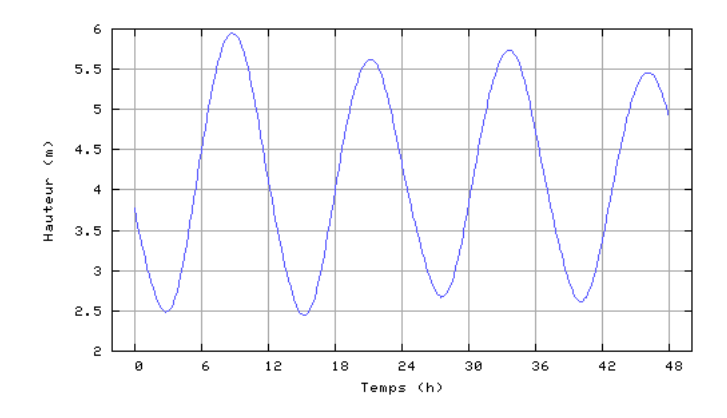


FIGURE 12 – Marégramme enregistré à Brest sur une durée de deux jours

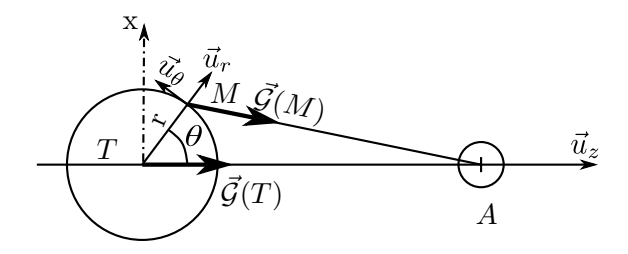


FIGURE 13 – Coordonnées utilisées pour le calcul du champ de marée créé par un astre A.

astre	masse m_A (kg)	distance $D(m)$	$C_0 ({\rm m.s^{-2}})$
Lune	$7,35.10^{22}$	384.10^6	$5,52.10^{-7}$
Soleil	$1,99.10^{30}$	$149, 5.10^9$	$2,53.10^{-7}$

Table 1 – Valeurs numériques concernant la Lune et le Soleil

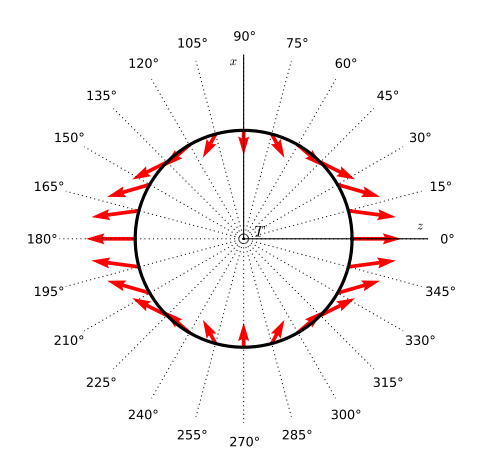


FIGURE 14 – Représentation du champ de marée. L'astre attracteur se trouve dans la direction $\theta = 0$.

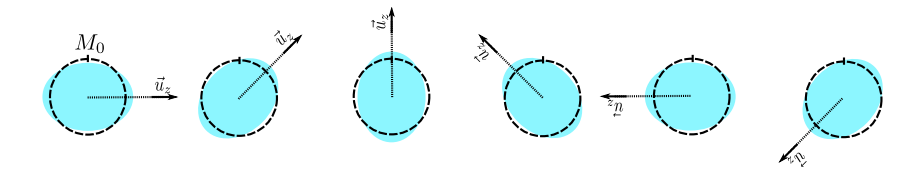


FIGURE 15 – Explication du rythme semi-diurne : en tournant autour de la Terre dans le référentiel terrestre, la Lune crée une déformation qui se déplace.

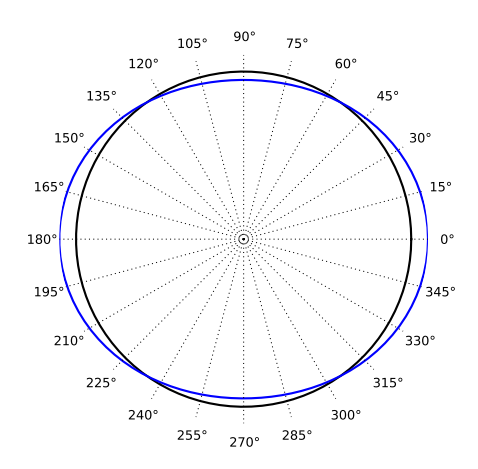


FIGURE 16 – Forme des océans dans le modèle de la marée hydrostatique. L'astre attracteur se trouve dans la direction $\theta = 0$.